

# РАСЧЕТ ДИНАМИКИ ФОТООТКЛИКА ДИОДОВ С РЕЗКИМ ПЕРЕХОДОМ ПРИ ВЫСОКИХ УРОВНЯХ ФОТОВОЗБУЖДЕНИЯ

Н. А. Кудряшов, С. С. Кучеренко, Н. В. Фетисов

Московский инженерно-физический институт, 115409, Москва, Россия  
 (Получено 22.06.1992. Принято к печати 31.07.1992)

В последние годы в связи с широким применением мощных лазерных источников излучения, повышением требований к быстродействию полупроводниковых устройств и поиском новых принципов их функционирования, интенсивно исследуются нелинейные фотоэлектрические процессы в полупроводниковых элементах при высоких уровнях фотовозбуждения. Интерес к данным явлениям обусловлен также проблемами разработки полупроводниковых приборов, функционирующих в условиях радиационного воздействия, солнечных элементов, работающих в режиме с концентрацией солнечной энергии и ряда других устройств. Из экспериментальных и численных исследований видно, что при высоких уровнях фотовозбуждения (таких, где концентрация фотогенерированных неравновесных носителей сравнима с равновесной концентрацией основных носителей), фототок растет надлинейно с ростом темпа генерации электронно-дырочных пар, а при сверхвысоких уровнях зависимость сублинейная. Два основных эффекта обуславливают такое поведение фототока: влияние высоких концентраций неравновесных носителей заряда (ННЗ) на время жизни неравновесных носителей и появление индуцированных электрических полей. Анализу фотоотклика диодных структур при высоких уровнях фотовозбуждения посвящено значительное количество работ [1-6]. В работе [1] представлена аналитическая модель для расчета переходных характеристик диодных структур типа  $p^+ - n$  ( $n^+ - p$ ) при воздействии непрерывного излучения. В данной модели учтены только механизмы диффузии и линейной рекомбинации. По сути модель [1] является обобщением на случай конечной базы подхода, разработанного ранее Верзом и Роджерсом [2]. Влияние зависимости фототока от интенсивности ионизирующего излучения при учете механизмов нелинейной рекомбинации и диффузии исследовалось в [3]. В работе [4] задача о фотоотклике диода с резким  $p-n$ -переходом на импульсное фотовозбуждение решена в диффузионно-дрейфовом приближении с учетом зависимости эффективного времени жизни ННЗ от темпа фотогенерации и влияния напряженности индуцируемого электрического поля в однородно легированных  $p$ - и  $n$ -областях. Однако в силу особенностей определения величины напряженности электрического поля, подход, предложенный в [4], может быть использован только для расчета фотоотклика структур  $P^+ - N^-$  или  $N^+ - P$ -типа. Численное и аналитическое исследование ионизационной реакции полупроводниковых диодов при воздействии интенсивных ионизирующих излучений проведено в [5]. Найден критерий применимости линейной теории слабого фотовозбуждения. В работе [6] получены аналитические соотношения, описывающие фотоотклик диода при непрерывном фотовозбуждении для случая «короткого» диода:  $\theta_n = (L_n/W_p) \gg 1$ ,  $\theta_p = (L_p/W_n) \gg 1$  ( $W_p$ ,  $W_n$  — толщины соответственно  $p$ - и  $n$ -областей,  $L_n$ ,  $L_p$  — диффузионные длины неосновных носителей в  $n$ - и  $p$ -областях). Показано, что с ростом величины темпа генерации  $G$  в  $p$ - и  $n$ -областях диода изменяется доминирующий механизм переноса неосновных носителей от диффузионного при малых уровнях  $G$ , до диффузионно-дрейфового при высоких уровнях  $G$  и дрейфового при сверхвысоких уровнях. Получены выражения для пороговых значений темпа фотогенерации  $G_n$ ,  $G_p$  и значений  $G^*$ , при котором снимается потенциальный барьер  $p-n$ -перехода. В

данной работе модель, разработанная в [6], обобщается для случая расчета динамики фототока как «коротких», так и «длинных» диодов ( $\theta_n \ll 1$ ,  $\theta_p \ll 1$ ) при импульсном однородном фотовозбуждении.

Динамика неосновных носителей, рожденных в результате фотовозбуждения (для определенности рассмотрим  $p$ -область), описывается следующим уравнением непрерывности:

$$\partial \Delta n / \partial t = D_n \partial^2 \Delta n / \partial x^2 + \mu_n E_p \partial \Delta n / \partial x + G - \Delta n / \tau. \quad (1)$$

Здесь  $\Delta n$  — плотность электронов, рожденных в результате фотогенерации,  $\mu_n$  и  $D_n$  — их подвижность и коэффициент диффузии соответственно,  $E_p$  — характерное значение напряженности электрического поля в  $p$ -области,  $\tau$  — время жизни электронов. Границные и начальные условия для уравнения (1) имеют вид

$$\Delta n(0, t) = \Delta N(W_p, t) = 0,$$

$$\Delta n(x, 0) = 0, \quad 0 < x < W_p, \quad (2)$$

где  $W_p$  — длина  $p$ -области. В предположении квазинейтральности напряженность электрического поля постоянна в  $p$ -области. Находя решение задачи (1) — (2) и подставляя его в выражение для тока неосновных носителей в точке  $p$  —  $n$ -перехода  $x = W_p$  получим

$$\begin{aligned} j_n(W_p, t) = & qG\tau D_n [A\alpha_1 \exp(\alpha_1 W_p) + B\alpha_2 \exp(-\alpha_2 W_p) + \\ & + \exp(-(a_n^2 D_n + 1/\tau)t) \exp(a_n W_p) (\pi/W_p) \times \\ & \times \sum_{k=1}^{\infty} C_k k \exp\{-(\pi^2 k^2 D_n/W_p^2)t\} (-1)^k], \end{aligned} \quad (3)$$

где

$$\alpha_{1,2} = -\mu_n E_p / 2D_n \pm [(μ_n E_p / 2D_n)^2 + 1/(D_n \tau)]^{1/2} = a_n \pm [a_n^2 + 1/(D_n \tau)]^{1/2},$$

$$A = [\exp(\alpha_2 W_p) - 1] / [\exp(\alpha_1 W_p) - \exp(\alpha_2 W_p)], \quad B = -A - 1,$$

$$a_n = -\mu_n E_p / 2D_n,$$

$$\begin{aligned} C_k = & -2[A \cdot F_k([a_n^2 + 1/(D_n \tau)]^{1/2}) + \\ & + B \cdot F_k(-[a_n^2 + 1/(D_n \tau)]^{1/2}) + F_k(-a_n)], \end{aligned}$$

$$F_k(\xi) = (1 - (-1)^k e^\xi) / (1 + \xi^2 / (\pi k)^2).$$

Выражение (3) параметрически зависит от полного фототока  $I_\Phi$  через характерное значение напряженности электрического поля  $E_p$ . Последнее можно определить исходя из того, что главный вклад в фототок вносят основные носители, поток которых имеет доминирующую дрейфовую компоненту, то есть в  $p$ -области  $I_\Phi \approx j_p \approx q\mu_p N_A E_p$ . Отсюда

$$E_p = I_\Phi / (q\mu_p N_A), \quad (4)$$

где  $N_A$  — концентрация ионизированных примесей (акцепторов). Ток неосновных носителей в  $n$ -области (дырок) в точке  $p$  —  $n$ -перехода находится аналогично. После этого, исходя из принципа непрерывности полного тока, можно определить его значение

$$I_\Phi = j_p(W_p, t) - j_n(W_p, t). \quad (5)$$

В выражении (5) опущен ток смещения ввиду его малости. Величина полного фототока находится из выражений (3)–(5) (формула для  $j_p (W_p, t)$ , получаемая аналогично (3), не приводится ввиду ее громоздкости).

В уравнении (1) время жизни ННЗ (электронов)  $n$  является параметром, зависящим от  $n$ . Данную зависимость можно учесть следующим образом. В предположении, что рекомбинация происходит через примесный центр с энергетическим уровнем, находящимся в середине запрещенной зоны, скорость рекомбинации описывается выражением вида (рекомбинация по Шокли–Риду–Холлу)

$$R = (np - n_i^2) / (\tau_n^0 (p + n_i) + \tau_p^0 (n + n_i)), \quad (6)$$

где  $n_i$  – собственная концентрация носителей. При малых уровнях фотовозбуждения, когда  $\Delta n \ll N_A$ , выражение (6) можно упростить

$$R = \Delta n / \tau_n^0. \quad (7)$$

Формула (7) записана для неосновных носителей в  $p$ -области. В  $n$ -области она записывается аналогично.

При высоких уровнях фотовозбуждения  $\Delta n \sim N_A$  выражение (6) можно представить в следующем виде (далее будем предполагать, что  $\tau_n^0 = \tau_p^0 = \tau_0$ ):

$$R = \Delta n (N_A + \Delta n) / \tau_0 (2\Delta n + N_A). \quad (8)$$

Приводя выражение (8) к виду (7), зависимость времени жизни ННЗ от  $\Delta n$  представим в виде

$$\tau = \tau_0 (2\Delta n + N_A) / (\Delta n + N_A). \quad (9)$$

Для определения времени жизни  $\tau$  от  $\Delta n$  по формуле (9) необходимо вычислить значение  $\Delta n$ . Это можно сделать либо в процессе решения уравнения (1), подставляя в (9) оценку значений  $\Delta n$  на предыдущем временном шаге, либо оценив значение  $\Delta n$  из решения уравнения непрерывности (1), но без учета рекомбинации. Сравнение расчетов по этим двум алгоритмам показывает, что способ нахождения  $\tau$  ( $\Delta n$ ) слабо влияет на результат.

Изложенным выше методом были рассчитаны характеристики тестовой кремниевой диодной структуры со следующими параметрами:  $W_p = W_n = 50$  мкм,  $N_A = N_D = 10^{16}$  см<sup>-3</sup> при воздействии непрерывного фотовозбуждения (рис. 1) и импульса фотовозбуждения  $G = G_0 \eta(t)$ , где  $\eta(t)$  –  $\theta$ -функция Хэвисайда,  $G_0 = 4 \cdot 10^{23}$  см<sup>-3</sup> · с<sup>-1</sup> (что соответствует воздействию  $\gamma$ -излучения с мощностью дозы  $P_\gamma = 10^{10}$  рад/с).

На рис. 1 представлены графики зависимости фототока насыщения (непрерывное фотовозбуждение), отнесенного к темпу фотогенерации  $G$  от темпа фотогенерации. В соответствии с результатами линейной теории при малых уровнях фотовозбуждения фототок линейно зависит от темпа фотогенерации и его значение в случае «короткого» диода (кривые 1) равно  $eGL/2$ , а в случае «длинного» диода (кривые 2)  $eG(L_n + L_p)$ . С ростом уровня фотовозбуждения включаются основные механизмы сортирования неравновесных носителей: дрейфовый в случае «короткого» диода и рекомбинационно-дрейфовый в случае «длинного» диода, что приводит к сверхлинейному росту зависимости фототока от  $G$ . Сравнение кривой 1, полученной из расчетной модели, с кривыми  $I'$ ,  $I''$ , полученными путем численного решения задачи на основе полной диффузионно-дрейфовой модели (методика численного решения изложена в [7]), показывает, что при темпе генерации  $G$  меньшем критической величины  $G^*(U_0)$ , где  $U_0$  – приложенное напряжение, теоретический расчет с хорошей точностью соответствует

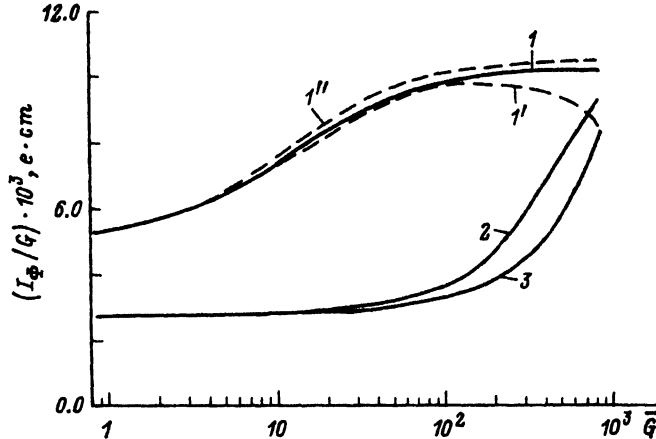


Рис. 1. Зависимость фототока насыщения (непрерывное фотовозбуждение), отнесенного к темпу фотогенерации  $\bar{G} = G/G_0$ ,  $G_0 = 5 \cdot 10^{20} \text{ см}^{-3} \cdot \text{с}^{-1}$  от темпа фотогенерации. 1—1'' — «короткий» диод ( $\tau_0 = 10^{-5} \text{ с}$ ),  $U_0$ , В: 1 — 5, 1' — 0, 1'' — —5. 2, 3 — «длинный» диод ( $\tau_0 = 10^{-7} \text{ с}$ ); 2 — с учетом зависимости  $\tau(\Delta n)$ , 3 — без учета зависимости  $\tau(\Delta n)$ . Сплошные линии — расчетная модель, штриховые — численный расчет задачи в полной постановке.

результатам численного расчета (кривые 1, 1'' и 1', 1'' при  $G < G^*$  ( $U_0 = 0$  В) =  $= 8 \cdot 10^{22} \text{ см}^{-3} \text{ с}^{-1}$ ). При  $G > G^*$  ( $U_0$ ) снимается потенциальный барьер  $p-n$ -перехода, что приводит к сублинейному росту фототока в зависимости от  $G$  (кривая 1'). В расчетной же модели (3)–(5), (9) предполагается, что потенциальный барьер  $p-n$ -перехода не исчезает, поэтому ее применимость ограничивается докритическими уровнями  $G$ . Сами значения  $G^*(U_0)$  также не могут быть определены из данной модели. Для их определения можно воспользоваться выражениями, полученными в [6]. Отметим, что данное обстоятельство не учитывается в расчетной модели [5]. Из сравнения расчетных зависимостей  $I_\Phi$  для случая «длинного» диода, полученных с учетом (кривая 2) и без учета (кривая 3) влияния зависимости времени жизни ННЗ от их концентрации, следует, что

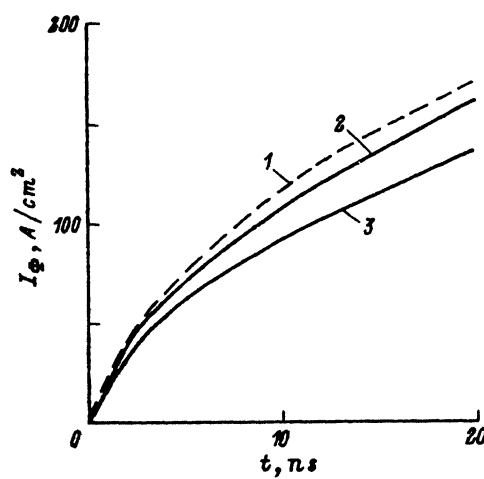


Рис. 2. Зависимость фототока от времени для случая «длинного» диода ( $\tau_0 = 10^{-7} \text{ с}$ ),  $G = 4 \cdot 10^{23} \text{ см}^{-3} \times \text{с}^{-1}$ . 1 — численный расчет задачи в полной постановке, 2 — расчетная модель с учетом  $\tau(\Delta n)$ , 3 — расчетная модель без учета  $\tau(\Delta n)$ .

учет увеличения времени жизни ННЗ приводит лишь к незначительному увеличению  $I_\Phi$  (из-за выбора модели рекомбинации предельное значение  $\tau(\Delta n)$  равно  $2\tau_0$ , фототок зависит от  $\tau(\Delta n)$  как  $I_\Phi \sim (\tau(\Delta n))^{1/2}$ ). Поэтому сверхлинейный рост  $I_\Phi$  от  $G$  главным образом определяется возникновением индуцированных электрических полей и для случая «длинного» диода.

На рис. 2 приведены зависимости фототока от времени для случая «длинного» диода. Сравнение расчетных зависимостей (кривые 2, 3) с зависимостью, полученной из численного решения задачи в полной постановке (кривая 1), показывает, что предлагаемая расчетная модель с хорошей точностью описывает динамику фотоотклика диода. При этом вычислительные затраты на расчет фотоотклика по модели (3)–(5), (9) на несколько порядков меньше затрат на решение задачи в полной постановке.

#### СПИСОК ЛИТЕРАТУРЫ

- [1] D. M. Long, J. R. Florian, R. H. Casey. IEEE Trans., NS-30, 4131 (1983).
- [2] J. L. Wirth, S. C. Rojers. IEEE Trans., NS-11, 24 (1964).
- [3] A. Ishaque, M. Becker, R. C. Block. IEEE Trans., NS-34, 1376 (1987).
- [4] E. W. Enlow, D. R. Alexander. IEEE Trans., NS-35, 1467 (1988).
- [5] С. П. Андреев, Е. Р. Аствацатуровян, А. В. Головин, Н. А. Кудряшов, С. С. Кучеренко и др. ФТП, 25, 128 (1991).
- [6] Н. А. Кудряшов, С. С. Кучеренко. ФТП, 25, 1128 (1991).
- [7] Н. А. Кудряшов, С. С. Кучеренко, Ю. И. Сыцко. Мат. моделирование, 1, 1 (1989).

Редактор В. В. Чалдышев

---

ФТП, том 27, вып. 2, 1993

## ОБРАТНЫЕ ТЕМНОВЫЕ ТОКИ В СТРУКТУРАХ ПОЛУПРОВОДНИК—ДИЭЛЕКТРИК—ПОЛУПРОВОДНИК С ТОНКИМ ДИЭЛЕКТРИКОМ

А. Т. Дидейкин, Н. И. Немчук

Физико-технический институт им. А. Ф. Иоффе Российской академии наук  
Санкт-Петербург, Россия

(Получено 11.09.1992. Принято к печати 11.09.1992)

**Введение.** Структуры металл—диэлектрик—полупроводник широко применяются в полупроводниковой электронике. Толщина диэлектрического слоя в классических МДП структурах в большинстве случаев составляет  $d > 1000$   $\text{х}$  и его проводимость считается пренебрежимо малой. Наличие сквозного тока в структурах с тонким диэлектриком ( $d < 300$   $\text{х}$ ) делает возможным создание на структурах металл—диэлектрик—полупроводник и полупроводник—диэлектрик—полупроводник фотоприемников большой площади с высокой чувствительностью и однородностью чувствительности по площади [1].

Благодаря реализации в таких структурах режима стационарного неравновесного обеднения [2] фотоприемники на их основе при работе не требуют периодического снятия напряжения смещения и в отличие от классических МДП фотоприемников могут работать в непрерывном режиме.

Одним из важнейших параметров, определяющих возможности использования фотоприемника, является уровень собственного шума, а следовательно, и определяющая его величина темнового тока.